

การใช้เทคนิค SSR และ AFLP ในการจำแนกความแตกต่าง ในระดับ race ของเชื้อ *Fusarium oxysporum* f.sp. *lycopersici*

Use of SSR and AFLP techniques for race characterization of *Fusarium oxysporum* f.sp. *lycopersici*

หทัยรัตน์ อุไรรונג¹, วีระศักดิ์ ศักดิศิริรัตน์^{2*}, และพิศาล ศิริธาร²

Hathairat Urairong¹, Weerasak Saksirirat², and Pisan Sirithorn²

บทคัดย่อ: การจำแนกความแตกต่างทางพันธุกรรมและ race ของเชื้อ *Fusarium oxysporum* f. sp. *lycopersici* (Fol) ที่เป็น race มาตรฐาน 4 ไอโซเลต [Fol1 (race 1), Fol2 (race 2), Fol3A (race 3), Fol3N (race 3)] และที่รวบรวมได้จากแหล่งปลูก暮งเมืองไทยจำนวน 11 ไอโซเลต โดยการใช้เทคนิค Simple Sequence Repeat (SSR) และ Amplified Fragment Length Polymorphism (AFLP) ผลการศึกษา โดยใช้เทคนิค SSR เพื่อการจำแนกเชื้อ Fol นี้ใช้โปรแกรม 6 คู่ ที่ติดฉลากด้วยสีฟลูออเรสเซนต์และวิเคราะห์ความแตกต่างของแบบดีเอ็นเอด้วยเครื่องข่ายชั้นนำแบบเบสชัตในมิติ (ABI PRISM™ 377 DNA Sequencer) พบว่าให้ແเกบดีเอ็นเอที่มีความแตกต่างกันทั้งสิ้น 18 แบบ เมื่อนำมาลงในวิเคราะห์แบบจัดกลุ่ม พบว่าสามารถแบ่งเชื้อ Fol ออกเป็น 2 กลุ่มใหญ่ชัดเจน ได้แก่ กลุ่มเชื้อที่มีความสามารถในการทำให้เกิดโรคเที่ยงเหลืองกับมะเขือเทศ ยกเว้น ไอโซเลต CM3 ซึ่งเป็นไอโซเลตที่ไม่มีความสามารถในการทำให้เกิดโรคเที่ยงเหลืองกับมะเขือเทศ อยู่สับปะรุกับ ไอโซเลต Fol3N (ไอโซเลตที่มีความสามารถในการทำให้เกิดโรค) และเมีบงไอโซเลตที่ไม่สามารถระบุความแตกต่างได้ ได้แก่ ไอโซเลต KK1, KK2, KK3 และ KK4 จึงจำเป็นต้องเพิ่มจำนวนไพรเมอร์เพื่อให้สามารถระบุความแตกต่างของไอโซเลตและ race ได้ จากการใช้เชื้อ Fol ในกลุ่มเดียวกันนี้ได้จัดทำลายพิมพ์ดีเอ็นเอโดยใช้เทคนิค AFLP ด้วยไพรเมอร์จำนวน 11 คู่ (E-AAG/M-CAA, E-AAG/M-CTC, E-AAG/M-CAG, E-AAG/M-CAC, E-AAC/M-CAA, E-ACT/M-CTA, E-ACT/M-CTT, E-ACT/M-CAA, E-ACT/M-CAT, E-ACG/M-CAA และ E-ACG/M-CAC) พบว่า สามารถบอกความแตกต่างของแต่ละไอโซเลตได้ดีมาก เมื่อนำมาลงในวิเคราะห์แบบจัดกลุ่ม พบว่า สามารถแยกเชื้อ Fol ที่เป็น race มาตรฐานไอโซเลต Fol1 (race 1) ออกจากไอโซเลต Fol2 (race 2), Fol3A (race 3) และ Fol3N (race 3) ได้ แต่ไม่สามารถแยกไอโซเลตที่มีความสามารถในการทำให้เกิดโรคออกจากไอโซเลตที่ไม่มีความสามารถในการทำให้เกิดโรคได้

ABSTRACT: For race and genetic differentiation, fifteen isolates of *Fusarium oxysporum* f. sp. *lycopersici* (Fol): four reference races [Fol1 (race 1), Fol2 (race 2), Fol3A (race 3), Fol3N (race 3)] and eleven isolates collected from tomato cultivated field in Thailand, were investigated by using the Simple Sequence Repeat (SSR) and Amplified

¹ สำนักวิจัยพัฒนาเทคโนโลยีชีวภาพ กรมวิชาการเกษตร

Biotechnology Research and Development Office, Department of Agriculture

² สาขาวิศวกรรมศาสตร์ ภาควิชาพืชศาสตร์และทรัพยากรการเกษตร คณะเกษตรศาสตร์ มหาวิทยาลัยขอนแก่น, ขอนแก่น 40002.

Plant Pathology Section, Department of Plant Science and Agriculture Resources, Faculty of Agriculture, Khon Kaen University, Khon Kaen 40002.

* Corresponding author: weerasak@kku.ac.th

Fragment Length Polymorphism (AFLP). The results demonstrated that the differentiation of *Fol* was obtained using SSR technique with 6 pairs of fluorescent labeling primers was carried out with automated DNA sequencer (ABI PRISM™ 377 DNA Sequencer). A dendrogram constructed by using a similarity matrix derived from 18 polymorphic SSR fragments could be classified 15 isolates into two main groups as the pathogenic and non-pathogenic groups, except 2 isolates of CM3 (non-pathogen) and *Fol*3N (pathogen), which were in opposite group. The isolates of KK1, KK2, KK3 and KK4 could be identified when the addition primers were used. DNA fingerprints of these fungi using AFLP technique and 11 combination primers (E-AAG/M-CAA, E-AAG/M-CTC, E-AAG/M-CAG, E-AAG/M-CAC, E-AAC/M-CAA, E-ACT/M-CTA, E-ACT/M-CTT, E-ACT/M-CAA, E-ACT/M-CAT, E-ACG/M-CAA and E-ACG/M-CAC) showed an obvious difference of each isolate. The *Fol*1 (race1) was discriminated from *Fol*2 (race2), *Fol*3A (race3) and *Fol*3N (race3). Nevertheless, the result from cluster analysis could not discriminate pathogenic from non-pathogenic isolates. (**Key words:** *Fusarium oxysporum* f. sp. *lycopersici*, SSR, AFLP, race)

บทนำ

เชื้อ *Fol* เป็นเชื้อราสาเหตุโรคที่เยว (*Fusarium wilt*) ของมะเขือเทศ มีชื่อเรียกโดยทั่วไปว่า โรคที่เยวเหลือง ระบาดทำความเสียหายในแหล่งปลูกมะเขือเทศทั่วโลก เชื้อชนิดนี้สามารถอยู่ข้ามฤดูหนาวในดินในรูปของสปอร์ สามารถทำลายต้นมะเขือเทศได้ตั้งแต่ระยะต้นกล้า จนถึงระยะให้ผลผลิต การควบคุมโรคนี้สามารถทำได้โดยการอบดินด้วยไอน้ำร้อนซึ่งนิยมทำกันเฉพาะในเรือนกระจก หรือการอบดินด้วยสารเคมีเมทิลบิโอมีเด (*methyl bromide*) แต่การใช้สารเคมีดังกล่าวเป็นอันตรายต่อมนุษย์และสัตว์ อีกทั้งยังเกิดความเป็นพิษต่อสิ่งแวดล้อม และค่าใช้จ่ายสูงอีกด้วย การใช้พันธุ์ต้านทานเป็นอีกวิธีหนึ่งที่สามารถควบคุมโรคอย่างมีประสิทธิภาพ และใช้กันอย่างแพร่หลายในทุกพื้นที่ แต่การใช้พันธุ์ต้านทานก็มีข้อจำกัด เพราะเชื้อ *Fol* สามารถพัฒนาสายพันธุ์ใหม่ๆ เกิดขึ้นอยู่เสมอ นอกจากนี้ยังมีรายงานในต่างประเทศว่า เชื้อ *Fol* มี 3 race คือ race 1, 2 และ 3 เชื้อ *Fol* race 1 มีรายงานในปี ค.ศ. 1886 ในแปลงปลูกมะเขือเทศ ต่อมาก็เกิดการระบาดรุนแรงของ race นี้ ในรัฐอาร์คันซอ ประเทศสหรัฐอเมริกา ทำความเสียหายต่อผลผลิตมะเขือเทศเป็นมูลค่าหันล้านเหรียญสหรัฐ (Marlatt et al., 1996) สำหรับเชื้อ *Fol* race 2 พบรอบครั้งแรกในประเทศไทยในปี ค.ศ. 1945 อีก 49 ปีต่อมาหลังจากที่เชื้อ *Fol* race 1 ระบาด (Alexander and Tucker, 1945) อีก 29 ปีต่อมาคือ ปี ค.ศ. 1978 พบรace 1

race 3 ระบาดในประเทศไทย (Grattidge, 1982) ต่อมามีรายงานการระบาดของเชื้อ *Fol* race 3 นี้ในหลายรัฐของประเทศสหรัฐอเมริกา ได้แก่ รัฐ California, Florida, Arkansas, North California และที่ Tennessee (Bost, 2001) โดย race ที่มีความสำคัญ คือ race 3 เนื่องจากเชื้อสามารถถ่ายทอดไปกับเมล็ดพันธุ์ได้ดังกล่าวข้างต้นทำให้การศึกษาเพื่อระบุ race ของเชื้อมีความสำคัญมากในปัจจุบัน ทั้งนี้เพื่อใช้ในการตรวจสอบว่า เป็น race ใด และเพื่อใช้ในการตรวจสอบ เมล็ดพันธุ์ เพื่อออกใบบัตรองปลดโรคพืชและการส่งออก

การจัดจำแนกและการระบุ race ของเชื้อส่วนใหญ่จะอาศัยลักษณะทางสัณฐานวิทยา และการทดสอบการทำให้เกิดโรคกับพันธุ์มะเขือเทศที่มียืนต้านทานที่เป็น specific dominant resistant genes ซึ่งเรียกพันธุ์พืช จำพวกนี้ว่า พันธุ์พืชอาศัยตรวจสอบ race (differential host) (Grattidge, 1982) การจำแนก race โดยวิธีนี้มีข้อจำกัดหลายประการ คือ อายุของพืชอาศัยต้องเท่ากัน สภาวะแวดล้อมใกล้เคียงกัน ใช้ต้นกล้าจำนวนมาก วิธีการทำที่ยุ่งยาก ต้องระมัดระวังการปนเปื้อน และใช้ระยะเวลาปัจจุบันได้มีการพัฒนาวิธีการในการจัดจำแนกและระบุ race ของเชื้อโดยอาศัยเทคนิคทางชีววิทยาระดับโมเลกุล ตัวอย่างเช่น การใช้ลายพิมพ์ดีเอ็นเอ (DNA fingerprint) การวิเคราะห์ลำดับเบสของดีเอ็นเอ (DNA sequence analysis) ซึ่งวิธีการดังกล่าวใช้ในการจัดจำแนกได้ดีและแม่นยำ รวมทั้งทำให้ทราบถึงความสัมพันธ์ของเชื้อหรือวิถีทางการของเชื้อ

อีกด้วย จึงเป็นที่น่าสนใจในการศึกษาทางเทคนิค และวิธีการทางชีววิทยาระดับโมเลกุลที่เหมาะสมในการจำแนกความแตกต่างระหว่าง race ของเชื้อ Fo1 เพื่อเป็นการขัดคุณสมบัติในการจัดจำแนก สร้างความแม่นยำ และรวดเร็วในการตรวจสอบ รวมทั้งเป็นฐานข้อมูลเกี่ยวกับ race ของเชื้อ Fo1 โดยเฉพาะที่พับในภาคตะวันออกเฉียงเหนือซึ่งเป็นพื้นที่หลักของการผลิตเมล็ดพันธุ์เพื่อการส่งออก

วิธีการศึกษา

1. สายพันธุ์เชื้อรากที่นำมาศึกษา

เชื้อ Fo1 จำนวน 15 ไอโซเลต ที่นำมาศึกษา ได้แก่ ไอโซเลตที่เป็น race มาตรฐาน 4 ไอโซเลต [Fo1 (race 1), Fo2 (race 2), Fo3A (race 3) และ Fo3N (race 3)] และที่ร่วบรวมได้จากแหล่งปัญญาที่สำคัญในประเทศไทยอีกจำนวน 11 ไอโซเลต (CM1, CM2, CM3, KK1, KK2, KK3, KK4, KK5, KK6 และ KS) ซึ่งบ่งชี้ race โดย Bunyatratchata (2006)

2. การสกัดดีเอ็นเอ

นำเชื้อหั้งหมดจากข้อ 1 เลี้ยงบนagar Sabouraud dextrose agar (SDA) บ่มที่อุณหภูมิ 28 องศาเซลเซียส นาน 3 วัน ใช้แอลกอฮอล์แก้วที่ลินไฟฟ้าเชื้อแล้วขูดเส้นไขข่องเชื้อไปบดให้ละเอียดในโกร่งที่เติมในตอรเจน เหลว แล้วเติม extraction buffer [CTAB 2 เปอร์เซ็นต์, 100 mM Tris-HCl (pH 8.0), 20 mM EDTA, 1.4 M NaCl, Polyvinylpyrrolidone (PVP) 1 เปอร์เซ็นต์] และ 2-mercaptoethanol จำนวน 600 และ 3 ไมโครลิตร ตามลำดับ ผสมให้ส่วนผสมเข้ากัน คุณลักษณะไมโครเซนต์ chloroform : isoamyl alcohol (24:1) ปริมาณ 600 ไมโครลิตร ผสมเบาๆ โดยการกลับหลอดขึ้นลง นาน 10 นาที นำไปหมุนเหวี่ยงที่ความเร็ว 12,000 รอบต่อนาที นาน 15 นาที เก็บเฉพาะส่วนที่เป็นน้ำใส (supernatant) ในหลอดไมโครเซนต์ฟิวเจลหลอดใหม่ แล้วเติม isopropanol ปริมาณ 0.7 เท่าของส่วนน้ำใส โดยค่อยๆ ผสมด้วยการกลับหลอดขึ้นลง นาน 5 นาที

จะพบดีเอ็นเอกับสายสีขาวชุ่น เก็บตะกอนดีเอ็นเอโดยการหมุนเหวี่ยงที่ความเร็ว 14,000 รอบต่อนาที นาน 10 นาที เก็บน้ำใสทิ้ง ล้างตะกอนดีเอ็นเอกับ ethanol 70 เปอร์เซ็นต์ ปริมาณ 1,000 ไมโครลิตร นำไปหมุนเหวี่ยงที่ความเร็ว 14,000 รอบต่อนาที นาน 10 นาที เก็บน้ำใสทิ้ง (ล้างตะกอนด้วยวิธีเดียวกันนี้จำนวน 3 ครั้ง) ปล่อยให้ตะกอนดีเอ็นเอกะหง จึงนำไปปลายด้วย TE buffer (10 mM Tris-HCl pH 8.0, 1 mM EDTA) ปริมาณ 30-50 ไมโครลิตร จากนั้นหาความเข้มข้นและความบริสุทธิ์ของดีเอ็นเอที่เตรียมได้ โดยการวัดการดูดกลืนแสงด้วยเครื่อง spectrophotometer และโดยเทคนิคของการอิเล็ก trophoresis (agarose gel electrophoresis) เก็บดีเอ็นเอที่ได้ไวที่อุณหภูมิ -20 องศาเซลเซียส เพื่อใช้ในการศึกษาต่อไป

3. การวิเคราะห์โดยเทคนิค Simple Sequence Repeat (SSR)

นำดีเอ็นเอกางข้อ 2 มาทำการเจือจางให้มีความเข้มข้นเท่ากับ 40 นาโนกรัมต่อไมโครลิตร เพิ่มปริมาณดีเอ็นเอกับด้วยเทคนิค Polymerase Chain Reaction (PCR) โดยใช้ไพรเมอร์ 6 คู่ (Table1) (Bogale et al., 2005) ซึ่งในปฏิกริยาหั้งหมด 10 ไมโครลิตร ประกอบด้วยดีเอ็นเอกองเชื้อรา 2 ไมโครลิตร, 100mM dNTPs mix 1 ไมโครลิตร, 10x ImmoBuffer 1 ไมโครลิตร, 50mM MgCl₂ 0.5 ไมโครลิตร, DNA polymerase (IMMOLASE™ DNA Polymerase; Bioline USA Inc. 5 unit/ μ l) 0.05 ไมโครลิตร, ไพรเมอร์ forward และ reverse (5 μ M) อย่างละ 0.3 ไมโครลิตร, สีฟลูออเรสเซนต์ FdCTP 0.01 ไมโครลิตร และเติม deionized H₂O ให้มีปริมาณสุดท้ายเท่ากับ 10 ไมโครลิตร นำเข้าเครื่อง thermal cycler จำนวนรอบ เวลา และอุณหภูมิของแต่ละช่วงเป็นดังนี้ 94 องศาเซลเซียส 2 นาที 1 รอบ; 94 องศาเซลเซียส 40 วินาที, 50 องศาเซลเซียส 40 วินาที, 72 องศาเซลเซียส 40 วินาที 40 รอบ; 72 องศาเซลเซียส 7 นาที 1 รอบ จากนั้นแยกขนาดของผลผลิต PCR ที่ได้ด้วยเครื่อง ABI PRISM™ 377 DNA Sequencer และใช้โปรแกรม GeneScan ในการวิเคราะห์ขนาดของผลิตภัณฑ์ PCR

Table 1 The microsatellite primer sequences and repeat motif of *Fusarium* sp.

| Primers | SSR motif | Primer sequences (5'→3') | Origin |
|---------|--------------------------------------|--------------------------|-----------------------------|
| MB2F | (GT) ₁₁ (GA) ₆ | TGCTGTGTATGGATGGATGG | NCBI accession no. AY931024 |
| MB2R | | CATGGTCGATAGCTTGTCTCAG | (Bogale et al., 2005) |
| MB10F | (AAC) ₆ | TATCGAGTCCGGCTTCCAGAAC | NCBI accession no. AY931028 |
| MB10R | | TTGCAATTACCTCCGATACCAC | (Bogale et al., 2005) |
| MB11F | (GGC) ₇ | GTGGACGAACACCTGCATC | NCBI accession no. AY931025 |
| MB11R | | AGATCCTCCACCTCCACCTC | (Bogale et al., 2005) |
| MB14F | (CCA) ₅ | CGTCTCTGAACCACCTTCATC | NCBI accession no. AY931027 |
| MB14R | | TTCCCTCCGCCATCCTGAC | (Bogale et al., 2005) |
| FS7F | (CAA) ₈ | CAGTGCCAGGCCATCCAAAAT | Hathairat Urairong |
| FS7R | | TGCAGATATGGTTGTTGATGGA | (non public) |
| FS19F | (CAC) ₅ | CTGAGAAACCACGAGGCCACAA | Hathairat Urairong |
| FS19R | | CTCGACCGGAACGCACAAAG | (non public) |

และโปรแกรม Genotyper (PE Applied Biosystems) ในการวิเคราะห์ข้อมูลแบบจัดกลุ่ม นำข้อมูลนี้มาสร้างเป็น binary matrix นำค่าที่ได้จากการไปคำนวณ similarity matrix โดยใช้วิธี Unweighted Pair - Group Method Using the Arithmetic Average (UPGMA) เรียง dendrogram โดยใช้ Neighbor-joinring tree การวิเคราะห์ทำโดยใช้โปรแกรม SPSS version 9.0

4. การวิเคราะห์โดยเทคนิค Amplified Fragment Length Polymorphism (AFLP)

4.1 การคัดเลือก AFLP primer combination

จัดทำลายพิมพ์ดีเอ็นเอของเชื้อ *Fo* 1 ด้วยเทคนิค AFLP โดยดัดแปลงตามวิธีการของ Vos และคณะ (1995) ดังนี้

1) ตัดดีเอ็นเอด้วยเอนไซม์ตัดจำเพาะและเชื่อมต่อดีเอ็นเอที่ถูกตัดด้วย adaptor

นำดีเอ็นเอของเชื้อที่มีปริมาณ 250 นาโนกรัม มาตัดด้วยเอนไซม์ *Eco*R I และ *Mse* I อย่างละ 2.5 unit ในปฏิกิริยาทั้งหมด 10 ไมโครลิตร (10mM Tris-acetate, 10mM Mg acetate, 50mM potassium acetate และ 5mM DTD, pH 7.5) บ่มปฏิกิริยาที่อุณหภูมิ 37 องศาเซลเซียส นาน 1 ชั่วโมง จากนั้นเชื่อมต่อดีเอ็นเอที่ถูกตัดด้วย *Eco*R I และ *Mse* I Adaptor (ลำดับเบสแสดงใน Table 2) โดยเตรียม ligation mastermix จำนวน 10 ไมโครลิตร

[*Eco*R I adaptor (5-pmol/μl) จำนวน 1 ไมโครลิตร, *Mse* I adaptor (50 pmol/μl) ปริมาตร 1 ไมโครลิตร, T4 DNA ligase 1 unit, 10x T4 DNA ligase buffer จำนวน 2 ไมโครลิตร, 0.5M NaCl จำนวน 2 ไมโครลิตร, 1 mg/ml BSA] นำ ligation mastermix เติมลงในดีเอ็นเอที่ถูกตัดด้วยเอนไซม์สมบูรณ์แล้ว บ่มปฏิกิริยาที่อุณหภูมิ 37 องศาเซลเซียส นาน 2 ชั่วโมง เมื่อครบ 2 ชั่วโมง หยุดปฏิกิริยาของเอนไซม์โดยการบ่มไว้ที่อุณหภูมิ 60 องศาเซลเซียส เป็นเวลา 15 นาที

2) Preselective amplification

เจือจางดีเอ็นเอที่เชื่อมต่อ กับ adaptor แล้ว ลง 10 เท่า เพิ่มปริมาณดีเอ็นเอเพาชินที่ปลายทั้ง 2 ข้างที่เชื่อมต่อ กับ *Eco*R I adaptor และด้านที่เหลือ เชื่อมต่อ กับ *Mse* I adaptor นำดีเอ็นเอที่ทำปฏิกิริยา PCR ด้วย preselective primer ที่มีลำดับนิวคลีโอไทด์เหมือน adaptor แต่มีการเพิ่มนิวคลีโอไทด์เข้าไปที่ปลาย 3' ข้างละ 1 นิวคลีโอไทด์ (+1) ในกราฟดังนี้ ใช้ preselective primer ที่เป็น *Eco*R I + A และ *Mse* I + C ดังแสดงใน Table 2

ในการทำปฏิกิริยา PCR ในขั้นตอน preselective amplification มีส่วนประกอบดังนี้ ใช้ดีเอ็นเอที่เชื่อมต่อ กับ adaptor เจือจางลงแล้ว 10 เท่า 4 ไมโครลิตร, 10x PCR buffer (100mM Tris-HCl pH 8.3, 15mM MgCl₂) และ

Table 2 The sequences of AFLP adaptor and preselective primer.

| Adaptor/primer | Primer sequences (5'→3') | Size (bp) |
|----------------------------|--------------------------|-----------|
| Adaptor | | |
| EcoR I adaptor 1 | CTCGTAGACTGCGTACC | 17 |
| EcoR I adaptor 2 | AATTGGTACGCAGTCTAC | 18 |
| Mse I adaptor 1 | GACGATGAGTCCTGAG | 16 |
| Mse I adaptor 2 | TACTCAGGACTCAT | 14 |
| Preselective primer | | |
| EcoR I + A | GACTGCGTACCAATTCA | 17 |
| Mse I + C | GATGAGTCCTGAGTAAC | 17 |

500mM KCl) 2 ໄມໂຄຣລິຕຣ, ເຄນໄໝ໌ DNA polymerase (Bioline USA Inc.) 1.2 unit, 5pmole dNTPs 2 ໄມໂຄຣລິຕຣ, 1μM EcoR I + A primer 1 ໄມໂຄຣລິຕຣ, 8.3 μM Mse I + C primer 2 ໄມໂຄຣລິຕຣ ແລະ ເດີມ deionized H₂O ໃ້ມືປົງມາຕຣ ສຸດທ້າຍເທົ່າກັບ 20 ໄມໂຄຣລິຕຣ ນຳເຂົາເຄື່ອງ thermal cycler ຈຳນວນຮົບ ເວລາ ແລະ ອຸນໜູນໝີຂອງແຕ່ລະຊົວເປັນ ດັ່ງນີ້ 72 ອົງສາເໜີລເໜີສ 2 ນາທີ 1 ຮອບ; 94 ອົງສາເໜີລເໜີສ 20 ວິນາທີ, 66 ອົງສາເໜີລເໜີສ 30 ວິນາທີ, 72 ອົງສາເໜີລເໜີສ 2 ນາທີ 10 ຮອບ ແລະ ຈາກນັ້ນລົດອຸນໜູນລົງ 1 ອົງສາເໜີລເໜີສ ທຸກໆ ຮອບ ເນື່ອຄົບແລ້ວທຳອິກ 20 ຮອບ ໂດຍໃຫ້ອຸນໜູນ 94 ອົງສາເໜີລເໜີສ 20 ນາທີ 56 ອົງສາເໜີລເໜີສ 30 ວິນາທີ ແລະ 72 ອົງສາເໜີລເໜີສ 2 ນາທີ ແລະ 60 ອົງສາເໜີລເໜີສ 30 ວິນາທີ ຈາກນັ້ນນຳຜົດຜົນ PCR ຈຳນວນ 3 ໄມໂຄຣລິຕຣ ໄປແຍກນາດຂອງເຈື້ອເອົາໂດຍໃຫ້ເຄື່ອງ ABI PRISM™ 377 DNA Sequencer

3) Selective amplification

ໂດຍໃຫ້ primer combination ລະຫວ່າງ EcoR I + 3 nucleotide ທີ່ ຕິດຈາກດ້ວຍສີຟ້ອູອເຣສເໜີນຕົ້ງຕ່າງໆ ທີ່ ປ່ລາຍ 5' ຈຳນວນ 8 ເສັ້ນ ກັບ Mse I + 3 nucleotide 8 ເສັ້ນ (Table 3) ປົກລົງຢາມມີດັ່ງນີ້ ໃຊ້ເຈື້ອເອົາຈາກຂັ້ນ preselective amplification ທີ່ ເຈື້ອຈາງລົງ 20 ເທົ່າ

3 ໄມໂຄຣລິຕຣ, 1μM EcoR I primer-Axx 1 ໄມໂຄຣລິຕຣ, 3μM Mse I primer-Cxx 1 ໄມໂຄຣລິຕຣ ແລະ AFLP core mix (PE Applied BioSystems) ເຕີມ deionized H₂O ໃ້ມືປົງມາຕຣ ສຸດທ້າຍເທົ່າກັບ 20 ໄມໂຄຣລິຕຣ ເພີ່ມປົງມານດີເອັນເອ ໂດຍການນຳໄປທໍາ touch down PCR ທີ່ ມີໂປຣແກຣມດັ່ງນີ້ 94 ອົງສາເໜີລເໜີສ 2 ນາທີ 1 ຮອບ; 94 ອົງສາເໜີລເໜີສ 20 ວິນາທີ, 66 ອົງສາເໜີລເໜີສ 30 ວິນາທີ, 72 ອົງສາເໜີລເໜີສ 2 ນາທີ 10 ຮອບ ແລະ ຈາກນັ້ນລົດອຸນໜູນລົງ 1 ອົງສາເໜີລເໜີສ ທຸກໆ ຮອບ ເນື່ອຄົບແລ້ວທຳອິກ 20 ຮອບ ໂດຍໃຫ້ອຸນໜູນ 94 ອົງສາເໜີລເໜີສ 20 ນາທີ 56 ອົງສາເໜີລເໜີສ 30 ວິນາທີ ແລະ 72 ອົງສາເໜີລເໜີສ 2 ນາທີ ແລະ 60 ອົງສາເໜີລເໜີສ 30 ວິນາທີ ຈາກນັ້ນນຳຜົດຜົນ PCR ຈຳນວນ 3 ໄມໂຄຣລິຕຣ ໄປແຍກນາດຂອງເຈື້ອເອົາໂດຍໃຫ້ເຄື່ອງ ABI PRISM™ 377 DNA Sequencer

Table 3 The selective EcoR I and Mse I primer sequences have three selective bases extend into the restriction fragments with fluorescent labelling.

| EcoR I selective primer | Mse I selective primer |
|------------------------------------|-------------------------------|
| NED-GACTGCGTACCAATT-C-AAC (E- AAC) | GATGAGTCCTGAGTAA-CAA (M- CAA) |
| JOE-GACTGCGTACCAATT-C-AAG (E- AAG) | GATGAGTCCTGAGTAA-CAC (M- CAC) |
| FAM-GACTGCGTACCAATT-C-ACA (E- ACA) | GATGAGTCCTGAGTAA-CAG (M- CAG) |
| FAM-GACTGCGTACCAATT-C-ACT (E- ACT) | GATGAGTCCTGAGTAA-CAT (M- CAT) |
| NED-GACTGCGTACCAATT-C-ACC (E- ACC) | GATGAGTCCTGAGTAA-CTA (M- CTA) |
| JOE-GACTGCGTACCAATT-C-ACG (E- ACG) | GATGAGTCCTGAGTAA-CTC (M- CTC) |
| NED-GACTGCGTACCAATT-C-AGC (E- AGC) | GATGAGTCCTGAGTAA-CTG (M- CTG) |
| JOE-GACTGCGTACCAATT-C-AGG (E- AGG) | GATGAGTCCTGAGTAA-CTT (M- CTT) |

4.2 การจัดทำลายพิมพ์ดีเอ็นเอของเชื้อ *Fo* โดยใช้เทคนิค AFLP

นำผลของ primer combination ที่ได้โดยตรวจผลจากข้อ 4.1 เพื่อจัดทำลายพิมพ์ดีเอ็นเอของเชื้อ *Fo* จำนวน 15 ไอโซเลต สำหรับขั้นตอนการดำเนินการ เช่นเดียวกับขั้นตอนการคัดเลือกคุณภาพเมอร์วินข้อ 4.1 จากนั้นนำมาแยกขนาดของดีเอ็นเอเชื้อ *Fo* ที่ได้จากเทคนิค AFLP ด้วยเครื่อง ABI PRISM™ 377 DNA Sequencer โดยใช้โปรแกรม GeneScan และ Genotyper (PE Applied Biosystems) ในการวิเคราะห์ข้อมูล นำข้อมูลนี้มาสร้างเป็น binary matrix นำค่าที่ได้จากการไปคำนวน similarity matrix โดยใช้วิธี Unweighted Pair - Group Method Using the Arithmetic Average (UPGMA) เชียน dendrogram โดยใช้ Neighbor-joinring tree การวิเคราะห์ทำโดยใช้โปรแกรม SPSS version 9.0

ผลการศึกษา

1. การวิเคราะห์โดยเทคนิค Simple Sequence Repeat (SSR)

จากการศึกษาด้วยเทคนิค SSR ในการจำแนกเชื้อ *Fo* จำนวน 15 ไอโซเลต โดยใช้เพرمอร์จำนวน 6 คู่ พบว่า เพرمอร์ MB2 (Figure 1A) ให้แอบดีเอ็นเอที่มีความแตกต่างกัน (polymorphic band) จำนวน 5 แถบ ได้แก่ แอบดีเอ็นเอขนาด 222 คู่เบส พบในไอโซเลต KK6 และ CM2 แถบดีเอ็นเอขนาด 248 คู่เบส พบในไอโซเลต Fo/3N แถบดีเอ็นเอขนาด 250 คู่เบส พบในไอโซเลต PP แถบดีเอ็นเอขนาด 258-259 คู่เบส พบในไอโซเลต *Fo*/1, *Fo*/2, *Fo*/3A, KK1, KK2, KK3, KK4, KK5, CM1 และ CM3 และแถบดีเอ็นเอขนาด 265 คู่เบส พบในไอโซเลต KS ส่วนเพرمอร์ MB10 (Figure 1B) ให้แอบดีเอ็นเอที่มี

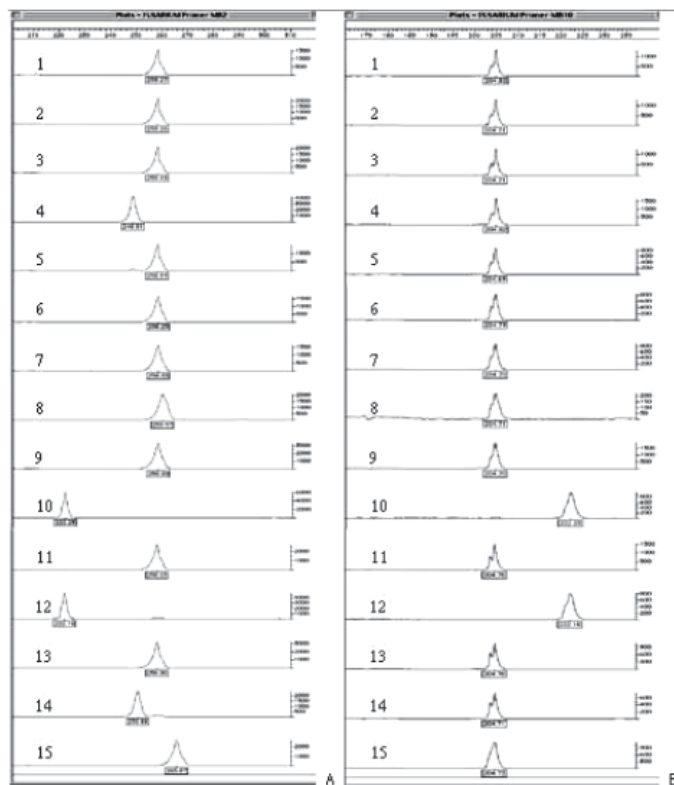


Figure 1 Microsatellite DNA fingerprint profiles of 15 isolates of *Fusarium oxysporum* f. sp. *lycopersici* amplified with MB2 primer (A) and MB10 primer (B); when X stand for size of DNA fragment (bp) ; row 1-15 = *Fo*/1, *Fo*/2, *Fo*/3A, *Fo*/3N, KK1, KK2, KK3, KK4, KK5, KK6, CM1, CM2, CM3, PP and KS respectively.

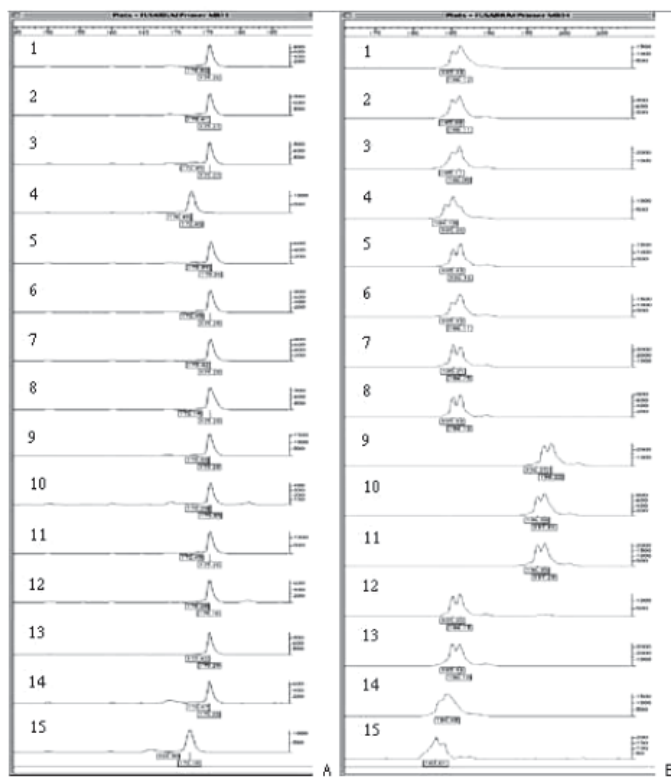


Figure 2 Microsatellite DNA fingerprint profiles of 15 isolates of *Fusarium oxysporum* f. sp. *lycopersici* amplified with MB11 primer (A) and MB14 primer (B); when X stand for size of DNA fragment (bp) ; row 1-15 = Fo1, Fo2, Fo3A, Fo3N, KK1, KK2, KK3, KK4, KK5, KK6, CM1, CM2, CM3, PP and KS respectively.

ความแตกต่างกันจำนวน 2 แถบ ได้แก่ แถบดีเอ็นเอกวนขนาด 204 คู่เบส พบในไอโซเลต Fo1, Fo2, Fo3A, Fo3N, KK1, KK2, KK3, KK4, KK5, CM1, CM3, PP และ KS แถบดีเอ็นเอกวนขนาด 222 คู่เบส พบในไอโซเลต KK6 และ CM2 ส่วนไพรเมอร์ MB11 (Figure 2A) ให้ แถบดีเอ็นเอกวนขนาด 204 คู่เบส พบในไอโซเลต Fo1, Fo2, Fo3A, Fo3N, KK1, KK2, KK3, KK4, KK5, CM1, CM3, PP และ KS แถบดีเอ็นเอกสารขนาด 222 คู่เบส พบในไอโซเลต KK6 และ CM2 ไพรเมอร์ MB11 (Figure 2A) ให้ แถบดีเอ็นเอกสารที่มีความแตกต่างกันจำนวน 2 แถบ ได้แก่ แถบดีเอ็นเอกสารขนาด 172 คู่เบส พบในไอโซเลต Fo1, Fo2, Fo3A, KK1, KK2, KK3, KK4, KK5, KK6, CM1, CM2, CM3 และ PP ไพรเมอร์ MB14 (Figure 2B) ให้

แถบดีเอ็นเอกสารที่มีความแตกต่างกันจำนวน 3 แถบ ได้แก่ แถบดีเอ็นเอกสารขนาด 183-184 คู่เบส พบในไอโซเลต PP และ KS แถบดีเอ็นเอกสารขนาด 185-186 คู่เบส พบในไอโซเลต Fo1, Fo2, Fo3A, Fo3N, KK1, KK2, KK3, KK4, CM2 และ CM3 แถบดีเอ็นเอกสารขนาด 196-198 คู่เบส พบในไอโซเลต KK5, KK6 และ CM1 ไพรเมอร์ FS1 (Figure 3A) ให้ แถบดีเอ็นเอกสารเดียวกันขนาด 228 คู่เบส ในไอโซเลต Fo1, Fo2, Fo3A, Fo3N, KK1, KK2, KK3, KK4, KK6, CM2 และ CM3 ส่วนอีก 4 ไอโซเลต ไม่พบแถบดีเอ็นเอกสารล่า ได้แก่ ไอโซเลต KK5, CM1, PP และ KS และไพรเมอร์ FS19 (Figure 3B) ให้ แถบดีเอ็นเอกสารที่มีความแตกต่างกันจำนวน 4 แถบ ได้แก่ แถบดีเอ็นเอกสารขนาด 374 คู่เบส พบในไอโซเลต Fo1, Fo2, Fo3A, Fo3N, KK1, KK2, KK3, KK4, KK6, CM2, CM3 และ PP แถบดีเอ็นเอกสารขนาด 378-379 คู่เบส พบในไอโซเลต KK5,

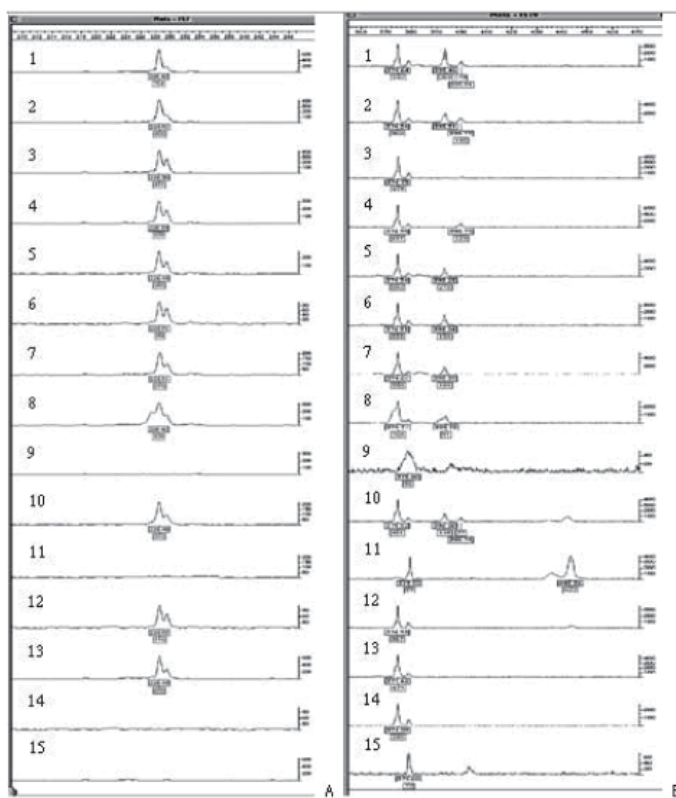


Figure 3 Microsatellite DNA fingerprint profiles of 15 isolates of *Fusarium oxysporum* f. sp. *lycopersici* amplified with FS7 primer (A) and FS19 primer (B); when X stand for size of DNA fragment (bp); row 1-15 = *Fo1*, *Fo2*, *Fo3A*, *Fo3N*, *KK1*, *KK2*, *KK3*, *KK4*, *KK5*, *KK6*, *CM1*, *CM2*, *CM3*, *PP* and *KS* respectively.

CM1 และ *KS* แถบดีเอ็นเอกซานาด 393 คู่เบส พบในไอโซเลต *Fo1*, *Fo2*, *KK1*, *KK2*, *KK3*, *KK4* และ *KK6* และ แถบดีเอ็นเอกซานาด 443 คู่เบส พบในไอโซเลต *CM1* เมื่อนำข้อมูลที่ได้ขึ้นอยู่เชือ *Fo1* 15 ไอโซเลต ทั้ง 6 ไพรเมอร์ ไปวิเคราะห์แบบจัดกลุ่ม (cluster analysis) โดยใช้โปรแกรม SPSS version 9.0 ได้ค่าระยะห่างของแต่ละไอโซเลต (Table 4) และนำค่าระยะห่างของแต่ละไอโซเลตนี้ไปสร้าง dendrogram เพื่อดูความสัมพันธ์ของแต่ละไอโซเลต (Figure 4) พบร่วมกันมาก ได้แก่ กลุ่ม A และ B ซึ่งกลุ่ม A ยังแบ่งออกเป็น 2 กลุ่มย่อย ได้แก่ a1 และ a2 โดยกลุ่ม a1 มีจำนวน 8 ไอโซเลต ได้แก่ *Fo3A*, *CM3*, *KK3*, *KK4*, *KK1*, *KK2*, *Fo1* และ *Fo2* ส่วนกลุ่ม a2 มีจำนวน 2 ไอโซเลต ได้แก่ *KK6* และ *CM2* และกลุ่ม B แบ่งออกเป็น 2 กลุ่มย่อย ได้แก่ b1 และ b2 โดยกลุ่ม

b1 มีจำนวน 2 ไอโซเลต ได้แก่ *KK5* และ *CM1* ส่วนกลุ่ม b2 มีจำนวน 3 ไอโซเลต ได้แก่ *PP*, *KS* และ *Fo3N*

2. การวิเคราะห์โดยเทคนิค Amplified Fragment Length Polymorphism (AFLP)

2.1 การคัดเลือก AFLP primer combination

ผลการคัดเลือกคู่ของ AFLP ไพรเมอร์ของ *EcoR I* และ *Mse I* selective primer อย่างละ 8 สาย รวมเป็น 64 primer combination โดยใช้เชือ *Fo1* ไอโซเลต *Fo1* เป็นดีเอ็นเอดั้นแบบในการทำ AFLP เพื่อคัดเลือกคู่ของไพรเมอร์ที่เหมาะสมสำหรับทำลายพิมพ์ดีเอ็นเอกซอง เชือ *Fo1* ทั้งหมด โดยพิจารณาจากจำนวนแถบของลายพิมพ์ดีเอ็นเอกซองที่ได้มีจำนวนมากและคงขั้ดเจนทุกๆ แถบ ผลการคัดเลือกพบว่า มีไพรเมอร์จำนวน 11 คู่ ที่ให้แถบลายพิมพ์ดีเอ็นเอกซ์ชัด ได้แก่ ไพรเมอร์

Table 4 Associations among 15 isolates of *Fusarium oxysporum* f. sp. *lycopersici* revealed by 6 pairs of microsatellite primer.

| Isolates | Proximity matrix | | | | | | | | | | | | | | |
|-------------|------------------|------------|-------------|-------------|------------|------------|------------|------------|------------|------------|------------|------------|------------|-----------|-----------|
| | <i>Fo1</i> | <i>Fo2</i> | <i>Fo3A</i> | <i>Fo3N</i> | <i>KK1</i> | <i>KK2</i> | <i>KK3</i> | <i>KK4</i> | <i>KK5</i> | <i>KK6</i> | <i>CM1</i> | <i>CM2</i> | <i>CM3</i> | <i>PP</i> | <i>KS</i> |
| <i>Fo1</i> | 0.000 | | | | | | | | | | | | | | |
| <i>Fo2</i> | 0.000 | 0.000 | | | | | | | | | | | | | |
| <i>Fo3A</i> | 0.154 | 0.154 | 0.000 | | | | | | | | | | | | |
| <i>Fo3N</i> | 0.385 | 0.385 | 0.385 | 0.000 | | | | | | | | | | | |
| <i>KK1</i> | 0.077 | 0.077 | 0.077 | 0.462 | 0.000 | | | | | | | | | | |
| <i>KK2</i> | 0.077 | 0.077 | 0.077 | 0.462 | 0.000 | 0.000 | | | | | | | | | |
| <i>KK3</i> | 0.077 | 0.077 | 0.077 | 0.462 | 0.000 | 0.000 | 0.000 | | | | | | | | |
| <i>KK4</i> | 0.077 | 0.077 | 0.077 | 0.462 | 0.000 | 0.000 | 0.000 | 0.000 | | | | | | | |
| <i>KK5</i> | 0.538 | 0.538 | 0.385 | 0.769 | 0.462 | 0.462 | 0.462 | 0.462 | 0.000 | | | | | | |
| <i>KK6</i> | 0.462 | 0.426 | 0.615 | 0.692 | 0.538 | 0.538 | 0.538 | 0.538 | 0.692 | 0.000 | | | | | |
| <i>CM1</i> | 0.615 | 0.615 | 0.462 | 0.846 | 0.538 | 0.538 | 0.538 | 0.538 | 0.077 | 0.769 | 0.000 | | | | |
| <i>CM2</i> | 0.426 | 0.426 | 0.308 | 0.538 | 0.385 | 0.385 | 0.385 | 0.385 | 0.692 | 0.308 | 0.769 | 0.000 | | | |
| <i>CM3</i> | 0.154 | 0.154 | 0.000 | 0.385 | 0.077 | 0.077 | 0.077 | 0.077 | 0.385 | 0.615 | 0.462 | 0.308 | 0.000 | | |
| <i>PP</i> | 0.538 | 0.538 | 0.385 | 0.615 | 0.462 | 0.462 | 0.462 | 0.462 | 0.692 | 0.538 | 0.538 | 0.385 | 0.000 | | |
| <i>KS</i> | 0.846 | 0.846 | 0.692 | 0.615 | 0.769 | 0.769 | 0.769 | 0.769 | 0.462 | 1.000 | 0.538 | 0.846 | 0.692 | 0.462 | 0.000 |

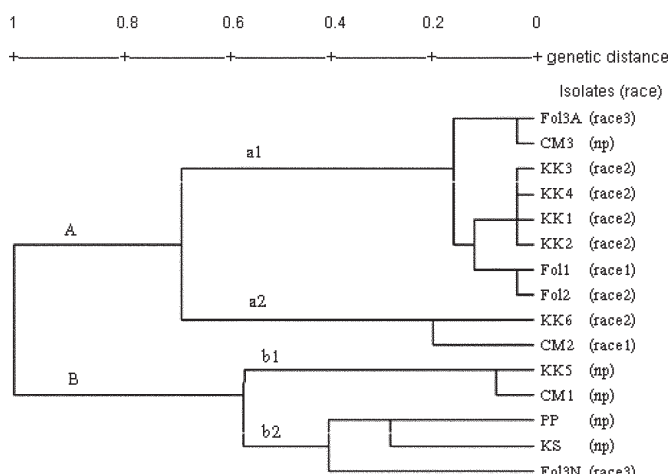


Figure 4 Dendrogram for 15 isolates of *Fusarium oxysporum* f. sp. *lycopersici* derived from Neighbor-joining tree analysis based on 6 microsatellite primers ; np = non-pathogenic strain of *Fusarium oxysporum* f. sp. *lycopersici*.

E-AAG/M-CAA, E-AAG/M-CTC, E-AAG/M-CAG, E-AAG/M-CAC, E-AAC/M-CAA, E-ACT/M-CTA, E-ACT/M-CTT, E-ACT/M-CAA, E-ACT/M-CAT, E-ACG/M-CAA และ E-ACG/M-CAC ໄພຣມອຣົ່ງອື່ນທີ່ເຫັນໄວ້ແກບລາຍພິມພົໍມທີ່ນ້ອຍຫຼືອໄມ່ຂັດເຈນ

2.2 ກາຮຈັດທໍາລາຍພິມພົໍມເຂົ້າຂອງເຊື້ອ *Fo1* ໂດຍໃຊ້ເຕັກນິກ AFLP

ເມື່ອນຳຜົມຜົມ PCR ທີ່ໄດ້ຈາກການໃຊ້ຄູ່ອົງໄພຣມອຣ ທັງ 11 ຄູ່ ຈາກຫັ້ນ 2.1 ໃປທໍາລາຍພິມພົໍມເຂົ້າຂອງເຊື້ອ *Fo1* ທັງ 15 ໂອໂຊເລເຕ ປຣາກງວ່າໄພຣມອຣທັງໝົດໃຫ້ແກບເຂົ້າໂຄໄມ່ມາກນັກ ໂດຍອຸ່ນໃໝ່ຢູ່ໃນຂ່າງ 15-25 ແກບຕ່ອງໄພຣມອຣ

ต่อไอโซเลต เท่านั้น ขนาดของชิ้นดีเอ็นເกີດຈະມີຄວາມຍາວອຸ່ງຮະກວາງ 50-500 ຄູ່ບັນ ເມື່ອນຳຂໍ້ມູນລາຍພິມພົດເຕັມເຂົ້າຂອງເຊື້ອ Fol 15 ໄອໃຫຍ່ເຕັມທີ່ 11 ໄພຣມອ໌ ໄປວິເຄຣະໜີແບບຈັດກຸມ (cluster analysis) ໂດຍໃຫ້ໄປຮ່າງແກ່ SPSS version 9.0 ໄດ້ຄ່າຄວາມແຕກຕ່າງທາງພັນຊີກຽມຂອງແຕ່ລະໄອໃຫຍ່ເຕັມ (Table 5) ແລະນຳຄ່າຄວາມແຕກຕ່າງທາງພັນຊີກຽມຂອງແຕ່ລະໄອໃຫຍ່ເຕັມນີ້ໄປສ້າງ dendrogram ເພື່ອຊູ່ຄວາມສົມພັນນີ້ຂອງແຕ່ລະໄອໃຫຍ່ເຕັມ (Figure 5) ພບວ່າ ສາມາດຈັດກຸມເຊື້ອ Fol ໄດ້ ເປັນ 2 ກຸມທີ່ແຕກຕ່າງກັນນາກ ໄດ້ແກ່ ກຸມ A ແລະ B ທີ່ກຸມ A ຍັງແປ່ງອອກເປັນ 2 ກຸມຍ່ອຍ ໄດ້ແກ່ a1 ແລະ a2 ໂດຍກຸມ a1 ມີຈຳນວນ 8 ໄອໃຫຍ່ເຕັມ (KK3, KK4, Fol3N, KK1, Fol2, KK5, CM3 ແລະ PP) ສ່ວນກຸມ a2 ມີຈຳນວນ 2 ໄອໃຫຍ່ເຕັມ (KK2 ແລະ Fol3A) ແລະກຸມ B ແປ່ງອອກເປັນ 2 ກຸມຍ່ອຍ ໄດ້ແກ່ b1 ແລະ b2 ໂດຍກຸມ b1 ມີຈຳນວນ 2 ໄອໃຫຍ່ເຕັມ (CM1 ແລະ Fol1) ສ່ວນກຸມ b2 ມີຈຳນວນ 3 ໄອໃຫຍ່ເຕັມ (KK6, CM2 ແລະ KS)

สรปและวิจารณ์

1. การวิเคราะห์โดยเทคนิค Simple Sequence Repeat (SSR)

ผลการศึกษาด้วยการใช้เทคนิค SSR ในการจำแนกเชื้อ FoI จำนวน 15 ไอโซเลต โดยใช้เพรเมอร์จำนวน 6 คู่ ให้ແບບເئັນເອົ້າທີ່ຕ່າງກັນທັງໝາດ 18 ແຕບ ເນື່ອນຳໄປວິເຄຣະໜີຂໍ້ມູນແບບຈັດກຸມໆ ພວຍວ່າ ສາມາຮັດແປ່ງກຸມໆ ເຊື້ອ FoI ອອກເປັນ 2 ກຸມໆໃໝ່ ໂດຍກຸມໆ A ເປັນກຸມໆຂອງເຊື້ອ FoI ທີ່ມີສາມາຮັດໃນການທຳໃຫ້ເກີດໂຮງເຫຼື່ອງກັນມະເຂົ້ອເທັດໄດ້ ຍາກເວັ້ນໄອໂໂລເລຕ CM3 ແລກກຸມໆ B ເປັນກຸມໆຂອງເຊື້ອ FoI ທີ່ມີສາມາຮັດໃຫ້ເກີດໂຮງກັນມະເຂົ້ອເທັດໄດ້ ຍາກເວັ້ນໄອໂໂລເລຕ FoIBN ທັງນີ້ສອດຄັລ້ອງກັບການศึกษาຂອງນັ້ນສົວເລະຄອນະ (2548) ທີ່ໃຫ້ເທັດ Random Amplified Polymorphic DNA (RAPD) ຈຳແນກເຊື້ອ FoI ທັງ 15 ໄອໂໂລເລຕນີ້ ພວຍວ່າ ສາມາຮັດແປ່ງກຸມໆເຊື້ອ FoI ທີ່ມີສາມາຮັດໃນການທຳໃຫ້ເກີດໂຮງເຫຼື່ອງກັນມະເຂົ້ອເທັດ ອອກຈາກກຸມໆຂອງເຊື້ອ FoI ທີ່ມີສາມາຮັດໃຫ້ເກີດໂຮງກັນມະເຂົ້ອເທັດໄດ້ ຍາກເວັ້ນໄອໂໂລເລຕ CM3

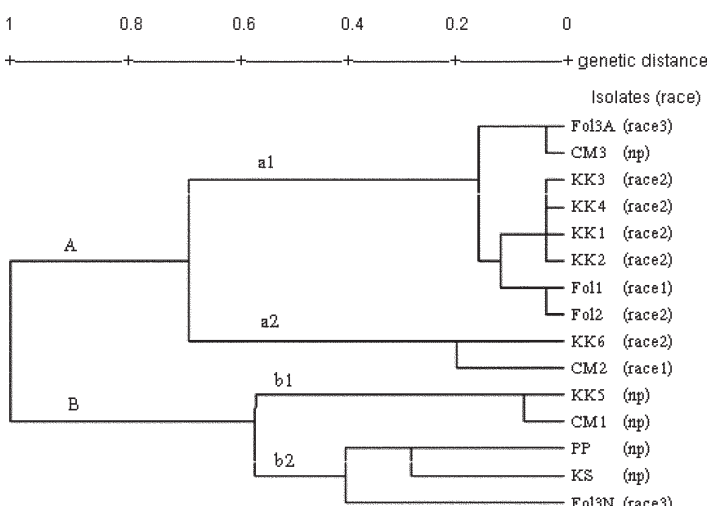
เข่นเดียวกับการศึกษาในครั้งนี้ นอกจาจนี้ยังพบว่า เสื้อ F01 ไอโซเลต KK1, KK2, KK3 และ KK4 มีค่า proximity matrix เท่ากับ 0 แสดงว่ามีความเหมือนกันมากหรือมีความใกล้ชิดทางพันธุกรรมมาก แต่เมื่อดูผลจาก Table 6 ซึ่งเป็นผลของ proximity matrix ที่ได้จากการวิเคราะห์ข้อมูลของเชื้อ F01 ด้วยเทคนิค Amplified Fragment Length Polymorphism (AFLP) จำนวน 11 คู่ ของไพรเมอร์ พบร่วมกับมีเฉพาะไอโซเลต KK3 และ KK4 เท่านั้นที่มีความเหมือนกัน (ค่า proximity matrix = 0) ซึ่งแสดงให้เห็นว่าเชื้อ F01 จำนวน 2 ไอโซเลตนี้ มีความใกล้ชิดทางพันธุกรรมจริง เข่นเดียวกับการศึกษาด้วยเทคนิค SSR พบร่วมกับ CM3 มีความเหมือนกับไอโซเลต F0/3A กรณีนี้แสดงให้เห็นว่า การที่จะใช้เทคนิคทางดีเอ็นเอตรวจสอบความหลากหลายทางพันธุกรรมของสิ่งมีชีวิต ถ้าใช้ไพรเมอร์จำนวนน้อยตำแหน่ง อาจทำให้การวิเคราะห์ข้อมูลออกมาคลาดเคลื่อนจากความเป็นจริงได้ โดยเฉพาะผลที่ปรากฏว่า 2 ไอโซเลตที่มีความเหมือนกันทางพันธุกรรม เพื่อให้ข้อมูลในการทดลองนี้มีประโยชน์มากยิ่งขึ้น จึงควรนำผลของ การศึกษาเชื้อ F01 โดยใช้เทคนิคอื่นๆ ร่วมด้วย จะทำให้มีไพรเมอร์มากพอที่จะศึกษาประชากรของเชื้อ F01 อย่างไรก็ตาม จากการรายงานของ Bogale และคณะ (2005) กล่าวว่า การใช้ SSR จำนวน 9 ตำแหน่ง ก็เพียงพอที่จะศึกษาความหลากหลายทางพันธุกรรมของเชื้อ *F. oxysporum* ได้

2. การจิเคราะห์โดยเทคนิค Amplified Fragment Length Polymorphism (AFLP)

การจำแนกเชื้อ *FoI* ทั้ง 15 ไอโซเลต ด้วยเทคนิค AFLP พบว่า คู่ผู้สมของไพรเมอร์ที่ให้ผลดีมีจำนวน 11 คู่ ได้แก่ ไพรเมอร์ E-AAG/M-CAA, E-AAG/M-CTC, E-AAG/M-CAG, E-AAG/M-CAC, E-AAC/M-CAA, E-ACT/M-CTA, E-ACT/M-CTT, E-ACT/M-CAA, E-ACT/M-CAT, E-ACG/M-CAA และ E-ACG/M-CAC คู่ผู้สมของไพรเมอร์ ทั้งหมดให้ขนาดของชิ้นดีเอ็นเออยู่ระหว่าง 50-500 คู่เบส และให้จำนวนแอบดีเอ็นเออยู่ในช่วง 15-25 แอบดี ซึ่ง นับว่าน้อย เพราะการทดลองนี้ได้เลือกปรับจำนวนเบส

Table 5 Associations among 15 isolates of *Fusarium oxysporum* f. sp. *lycopersici* revealed by 11 pairs of AFLP primer.

| Isolates | Proximity matrix | | | | | | | | | | | | | | |
|----------|------------------|-------|-------|-------|-------|-------|-------|-------|-------|-------|-------|-------|-------|-------|-------|
| | Fo1 | Fo2 | Fo3A | Fo3N | KK1 | KK2 | KK3 | KK4 | KK5 | KK6 | CM1 | CM2 | CM3 | PP | KS |
| Fo1 | 0.000 | | | | | | | | | | | | | | |
| Fo2 | 0.484 | | | | | | | | | | | | | | |
| Fo3A | 0.796 | 0.363 | | | | | | | | | | | | | |
| Fo3N | 0.522 | 0.242 | 0.452 | | | | | | | | | | | | |
| KK1 | 0.459 | 0.140 | 0.427 | 0.051 | | | | | | | | | | | |
| KK2 | 0.561 | 0.306 | 0.631 | 0.408 | 0.268 | | | | | | | | | | |
| KK3 | 0.408 | 0.140 | 0.478 | 0.115 | 0.064 | 0.306 | | | | | | | | | |
| KK4 | 0.446 | 0.140 | 0.401 | 0.153 | 0.025 | 0.255 | 0.000 | | | | | | | | |
| KK5 | 0.631 | 0.325 | 0.586 | 0.299 | 0.146 | 0.452 | 0.274 | 0.146 | | | | | | | |
| KK6 | 0.866 | 0.688 | 0.834 | 0.561 | 0.535 | 0.854 | 0.573 | 0.586 | 0.580 | | | | | | |
| CM1 | 0.790 | 0.611 | 0.643 | 0.408 | 0.408 | 0.739 | 0.471 | 0.395 | 0.389 | 0.675 | | | | | |
| CM2 | 0.796 | 0.592 | 0.841 | 0.503 | 0.529 | 0.822 | 0.389 | 0.490 | 0.662 | 0.720 | 0.656 | | | | |
| CM3 | 0.745 | 0.274 | 0.535 | 0.287 | 0.236 | 0.478 | 0.197 | 0.287 | 0.408 | 0.771 | 0.618 | 0.484 | | | |
| PP | 0.611 | 0.268 | 0.580 | 0.204 | 0.191 | 0.535 | 0.255 | 0.280 | 0.338 | 0.637 | 0.522 | 0.567 | 0.312 | | |
| KS | 0.968 | 0.701 | 1.000 | 0.573 | 0.561 | 0.892 | 0.739 | 0.701 | 0.694 | 0.866 | 0.841 | 0.949 | 0.822 | 0.510 | 0.000 |

**Figure 4** Dendrogram for 15 isolates of *Fusarium oxysporum* f. sp. *lycopersici* derived from Neighbor-joining tree analysis based on 6 microsatellite primers ; np = non-pathogenic strain of *Fusarium oxysporum* f. sp. *lycopersici*.

คัดเลือกที่ปลาย 3' เป็น +3 เบส หั้งนี้เนื่องจากต้องการให้มีความจำเพาะสูง แต่มีผลทำให้ได้แอบดีเอ็นเอค่อนข้างน้อย การศึกษาครั้งนี้ตรวจสอบแอบดีเอ็นเอที่เกิดขึ้นโดยวิธีติดคลาดที่ปลาย 5' ของไพรเมอร์ข้าง *EcoRI* ด้วยสารเรืองแสง (fluorescent dye) และตรวจขนาดของชิ้นดีเอ็นเอด้วยเครื่องอ่านลำดับเบสอัตโนมัติ

(automated DNA sequencer) จากนั้นเครื่องจะทำการตรวจสอบແບບดีเอ็นเอ และแบ่งเป็นรหัส 0 (ไม่มีແບບ) กับ 1 (มีແບບ) โดยอัตโนมัติ เมื่อนำผลนี้ไปวิเคราะห์แบบจัดกลุ่มหาความสัมพันธ์ในรูป dendrogram พบว่าเทคนิค AFLP นี้ สามารถศึกษาความหลากหลายของเชื้อ *Fo* ทั้ง 15 โภชณาete ที่มีพันธุกรรมใกล้ชิดกับกลุ่มนี้

ได้ดี เพราะจะเห็นได้จากค่าความสัมพันธ์หรือระยะห่างแต่ละไอโซเลต มีตั้งแต่ 0 (ไอโซเลต KK3 และ KK4 มีค่าเท่ากัน) และ 1 (ไอโซเลต KS และ Fol3A มีค่าต่างกันมาก) เมื่อดูจาก dendrogram จะสามารถแบ่งกลุ่มเชือ Fol ออกเป็น 2 กลุ่มใหญ่ (ระยะห่างเท่ากับ 0.8) ได้แก่ กลุ่ม A และ B กลุ่ม A ยังสามารถแบ่งเป็นกลุ่มย่อย (ระยะห่างเท่ากับ 0.4) ได้แก่ a1 และ a2 โดยที่กลุ่ม a1 ประกอบด้วยเชือ Fol/จำนวน 8 ไอโซเลตที่คล้ายกันมาก ได้แก่ เชือ Fol ที่เป็น race มาตรฐาน 2 และ 3 ได้แก่ ไอโซเลต Fol/2 และ Fol/3N ตามลำดับ กลุ่มเชือ Fol ที่เป็น race 2 ได้แก่ ไอโซเลต KK1, KK3 และ KK4 และ กลุ่มเชือ Fol ที่ไม่ทำให้เกิดโรคเรียบร้อยกับมะเขือเทศ ได้แก่ ไอโซเลต KK5, CM3 และ PP กลุ่ม a2 ประกอบด้วย 2 ไอโซเลต ที่คล้ายกันมาก ได้แก่ Fol/3A และ KK2 สำหรับในกลุ่ม B แบ่งออกเป็น 2 กลุ่มย่อย ได้แก่ b1 และ b2 ที่มีความห่างกันทางพันธุกรรมสูงกว่ากลุ่ม A โดยที่กลุ่มย่อย b1 ประกอบด้วยเชือ Fol ไอโซเลต Fol/1 และ CM1 กลุ่มย่อย b2 ประกอบด้วยเชือ Fol ไอโซเลต KK6, CM2 และ KS ซึ่งจะเห็นว่าไม่แต่ละกลุ่มจะประกอบไปด้วยเชือ Fol ที่ทำให้เกิดโรคและไม่ทำให้เกิดโรค ปะปนกันอย่างไรก็ตาม เมื่อดูในเชิงของวิัฒนาการน่าจะเป็นไปได้ว่า ไอโซเลต Fol/1 และ Fol/2 มีวิัฒนาการแยกจากกัน เพราะอยู่กลุ่มใหญ่ต่างกันอย่างกัน สำหรับ ไอโซเลต Fol/3N น่าจะมีวิัฒนาการร่วมกับ ไอโซเลต Fol/2 แต่มีความห่างมากกว่า ไอโซเลต Fol/3N ถ้าหากดู polymorphism ที่เกิดขึ้นโดยดูจากความแตกต่างของ แบบดีเอ็นเอในตำแหน่งเดียวกัน เพื่อการจำแนก race จะพบว่า แบบดีเอ็นเอของทั้ง 11 คู่สมของไพรเมอร์ ส่วนใหญ่ให้แบบที่เหมือนกัน (common band) มีแค่ ส่วนน้อยที่ให้ความแตกต่าง และบางไอโซเลตมี common band ที่ต่างออกไป แสดงให้เห็นว่ามีพันธุกรรมที่ต่างกับ ไอโซเลตอื่นๆ มาก ถ้าทำการตัดแบบดีเอ็นเอที่ต่างกันเหล่านี้ไปทำการอ่านลำดับเบสแล้วของแบบเป็นไพรเมอร์จำเพาะ (specific primer) ใหม่ จะทำให้การจำแนกหรือระบุความแตกต่างของ race ได้รวดเร็วกว่าที่ เพาะเจลถึงแม้ว่าเทคนิค AFLP จะเป็นเทคนิคที่ดี ให้ polymorphism ได้จำนวนมาก สามารถบอกรความแตกต่าง

ของสิ่งมีชีวิตได้ ใช้ดีเอ็นเอน้อย ไม่ต้องการข้อมูลลำดับเบสของสิ่งมีชีวิตนั้นก็ตาม แต่เทคนิคนี้ยังมีข้อจำกัด ในเรื่องของระยะเวลาในการทดลองเพาะเจลขั้นตอนหลายขั้น ผลลัพธ์ไม่สามารถทำได้รวดเร็วเท่ากับการใช้ไพรเมอร์ที่จำเพาะได้

คำขอบคุณ

ขอขอบคุณศูนย์วิจัยเทคโนโลยีชีวภาพทางการเกษตรเพื่อเศรษฐกิจที่ยั่งยืนและศูนย์เทคโนโลยีชีวภาพทางการเกษตรรวมมหาวิทยาลัยร่วม มหาวิทยาลัยขอนแก่นที่ได้ให้ความอนุเคราะห์เชือ Fol และสนับสนุนการใช้เครื่องมือและอุปกรณ์บางส่วน

เอกสารอ้างอิง

- มนัสวี ชาญพาด, วีระศักดิ์ ศักดิ์ศิริรัตน์, และพรเทพ ณันแก้ว.
2548. การพัฒนาวิธีการทางชีวโมเลกุลเพื่อบ่งชี้ race ของเชื้อ *Fusarium oxysporum* f.sp. *lycopersici* สาเหตุโรคเรียบร้อยของมะเขือเทศ. แก่นเกษตร 33(2): 108-123.
- Alexander, L.J., and C.M. Tucker. 1945. Physiologic specialization in the tomato wilt fungus *Fusarium oxysporum* f.sp. *lycopersici*. J. Agric. Res. 70: 303-313.
- Bogale, M., B.D. Wingfield, M.J. Wingfield, and E.T. Steenkamp. 2005. Simple sequence repeat markers for species in the *Fusarium oxysporum* complex. Molecular Ecology Notes 5: 622-624.
- Bost, S.C. 2001. First report of *Fusarium oxysporum* f.sp. *lycopersici* race 3 on tomato in Tennessee. Plant Disease 85: 802.
- Bunyatratchata, W. 2006. Race identification of *Fusarium oxysporum* f. sp. *lycopersici*, wilt pathogen of tomato, and efficacy of soil fungi for controlling the disease. Ph.D. Dissertation. Department of Plant Pathology, Graduate School, Khon Kaen University, Khon Kaen.
- Bunyatratchata, W., W. Saksirat, P. Sirithorn, and P. Theerakulpisut. Race identification of Fusarium wilt pathogen of tomato, *Fusarium oxysporum* f. sp. *Lycopersici* by pathogenic reaction on standard differential host and development of Thai differential host. Khon Kaen Agric. 33(2): 95-107

- Grattidge, R. 1982. Occurrence of a third race of *Fusarium* wilt of tomatoes in Queensland. *Plant Disease* 66: 165-166.
- Marlatt, M.L., J.C. Correll, P. Kaufmann, and P.E. Cooper. 1996. Two genetically distinct population of *Fusarium oxysporum* f.sp. *lycopersici* race 3 in the United States. *Plant Disease* 80: 1336-1342.
- Vos, P., R. Hogers, M. Bleeker, M. Reijans, T. Van de Lee, M. Hornes, A. Frijters, J. Pot, J. Peleman, M. Kuiper, and M. Zabeau. 1995. AFLP: A new technique for DNA fingerprinting. *Nucleic Acids Res.* 23: 4407-4414.